

ГЕОЛОГИЯ

УДК 551.24: 550.4 (235.223)

## УРИКСКО-ИЙСКИЙ ГРАБЕН ПРИСАЯНСКОГО ВЫСТУПА СИБИРСКОГО КРАТОНА: НОВЫЕ ГЕОХРОНОЛОГИЧЕСКИЕ ДАННЫЕ И ГЕОДИНАМИЧЕСКИЕ СЛЕДСТВИЯ

© 2002 г. Д. П. Гладкочуб, Т. В. Донская, А. М. Мазукабзов,  
член-корреспондент РАН Е. В. Скляров, В. А. Пономарчук, А. М. Станевич

Поступило 13.05.2002 г.

Временной рубеж 1.8–1.9 млрд. лет является чрезвычайно важным в истории становления структуры Сибирского кратона. Именно с этим временным интервалом связаны основные коллизионные события, проявившиеся практически вдоль всего его южного фланга. По существующим представлениям [1] с завершением этих коллизионных событий в регионе прекратились и основные эндогенные процессы, после чего рассматриваемый район перешел в стадию относительно спокойного кратонного развития. В качестве индикаторов стадии кратонизации Присаянского выступа Сибирского кратона рассматриваются постколлизионные гранитоиды саянского, шумихинского комплексов с возрастом 1.84–1.86 млрд. лет [2, 3].

Однако до настоящего времени остается неясным вопрос о возрасте и условиях формирования ряда протерозойских осадочных и интрузивных комплексов, представленных, в частности, в структурах Урикско-Ийского грабена Присаянского выступа. Согласно геологическим наблюдениям и единичным геохронологическим данным, формирование этих комплексов происходило также на докембрийском этапе эволюции региона, но уже после момента окончательной стабилизации южного фланга Сибирского кратона.

Результаты исследований, проведенных в Урикско-Ийском грабене, позволили обосновать мезо-протерозойский этап активизации в пределах данной структуры и связать в рамках единой стадии эволюции, отвечающей постколлизионному коллапсу орогена, процессы накопления осадочных отложений ермасохинской свиты и фор-

мирование нижнерифейских базитовых и гранитоидных комплексов.

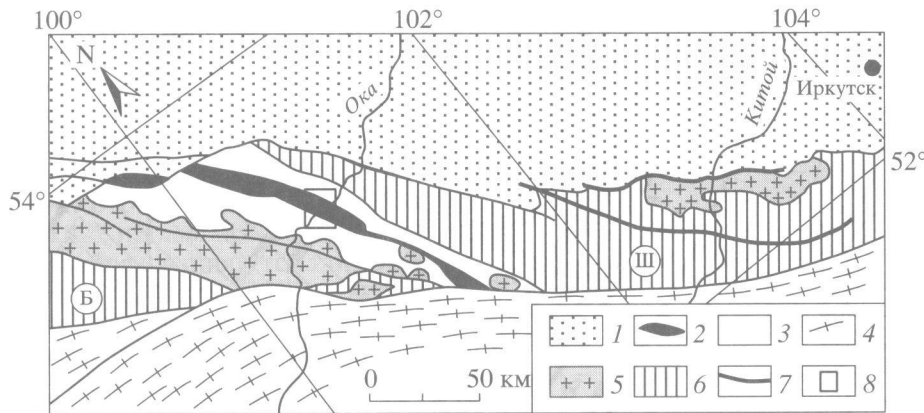
Основными объектами исследований явились отложения ермасохинской свиты, а также гранитоиды чернозиминского комплекса и габбро-диабазы ангаульского комплекса.

Урикско-Ийская складчатая зона представляется собой фрагмент раннепротерозойской Ангарской подвижной области [4]. В современной структуре данная зона представлена в виде грабена, вытянутого в северо-западном направлении, ширина которого достигает 30 км при протяженности до 200 км. Урикско-Ийская складчатая зона расположена между раннедокембрийскими блоками Присаянского краевого поднятия фундамента Сибирского кратона – Шарыжалгайским выступом и Бирюсинской глыбой (рис. 1).

В соответствии с выбранной для работы схемой стратиграфии [5] в строении грабена выделяется следующая последовательность свит, относимых к сублукской серии (снизу вверх): шаблыкская, большереченская (ингашинская), далдарминская, урикская (аршанская), а также ангаульская и одайская свиты калбазыкской серии раннего протерозоя. Залегающие в верхних частях разреза отложения ермасохинской свиты относятся к нижнему рифью, причем приведенное возрастное положение свиты не имеет строгих геологических доказательств. Общая мощность вулканогенно-осадочных образований в пределах грабена достигает 15 км. Слагающие грабен породы в различной степени метаморфизованы, при этом лишь отложения ермасохинской свиты практически не затронуты какими-либо метаморфическими преобразованиями. Вулканогенно-осадочные толщи Урикско-Ийского грабена дислоцированы с формированием линейной складчатости и разломов северо-западной ориентировки.

Отложения ермасохинской свиты являются специфичными образованиями Урикско-Ийского грабена. Основные выходы свиты приурочены к центральной части грабена и протягиваются узкой полосой практически через всю эту структу-

Институт земной коры  
Сибирского отделения Российской Академии наук,  
Иркутск  
Объединенный институт геологии, геофизики  
и минералогии  
Сибирского отделения Российской Академии наук,  
Новосибирск



**Рис. 1.** Схема расположения основных структурно-вещественных комплексов в пределах Присаянского поднятия Сибирской платформы. 1 – рифей-фанерозойский чехол; 2 – вулканогенно-осадочные образования нижнерифейской рифтогенной структуры; 3 – метаморфизованные вулканогенно-осадочные образования Урикского-Ийского грабена, фрагмента раннепротерозойской складчатой зоны; 4 – палеозойский складчатый пояс; 5 – раннепротерозойские гранитоиды (саянский комплекс); 6 – раннедокембрийские гранито-гнейсовые комплексы (Ш – Шарыжалгайский выступ, Б – Бирюсинская глыба); 7 – разломы; 8 – участок детальных работ.

ру, контролируясь Ерминско-Горхонской зоной разлома. В основании свиты картируется горизонт конгломератов, состав гальки которых свидетельствует о глубоком размыве подстилающих пород. Установлено, что ермасохинские конгломераты с резким угловым несогласием залегают на дислоцированных породах далдарминской свиты. Ермасохинская свита сложена, главным образом, неметаморфизованными грубообломочными осадками, включающими конгломераты, гравелиты, песчаники различного состава и алевролиты. Кроме этого, в строении толщи описаны маломощные прослои эфузивных и эфузивно-осадочных пород [5]. Мощность свиты достигает 1600 м. Особенности строения и комплекс осадочных образований свиты свидетельствуют о ее возможной молассовой природе, а также о том, что ее накопление происходило, вероятно, в быстро развивающейся рифтовой депрессии. Наличие кварцевых песчаников в разрезе свиты указывает на формирование ермасохинской свиты после паузы тектонической стабилизации с формированием зрелых кор выветривания.

В настоящее время возраст ермасохинской свиты оценивается как нижнерифейский на основании того, что отложения этой свиты с несогласием перекрывают раннепротерозойские осадочные породы далдарминской и урикской свит, а ее верхний контакт фиксируется несогласным перекрытием базальными конгломератами карагаской серии верхнего рифея. Временными реперами, позволяющими оценить верхний временной рубеж накопления ермасохинской свиты, являются и прорывающие ее магматические образования, а именно габбро-диабазы ангаульского ( $1640 \pm 100$  млн. лет) [6] и нерсинского (850–880 млн. лет) [7] комплексов, а также гранит-порфиры чернози-

минского комплекса, до недавнего времени без каких-либо геохронологических данных считавшиеся раннепалеозойскими [5].

Породы ангаульского комплекса в пределах Урикского-Ийского грабена представлены в форме мелких массивов или дайковых тел, сложенных в разной степени измененными диабазами и габбро-диабазами.

Дайки ориентированы, как правило, в северо-западном направлении, их протяженность достигает 2–3 км, а мощность варьирует от 2–3 до 10–30 м (рис. 2). Исследованные габбро-диабазы ангаульского комплекса относятся к группе высокотитанистых субщелочных базальтоидов, обогащенных высокозарядными (Zr, Nb, Y), крупно-ионными лиофильными (Rb, Ba, Sr) элементами и РЗЭ [6]. По комплексу геохимических характеристик эти образования отвечают типичным базальтам начальных стадий рифтогенного процесса в пределах зрелой континентальной литосферы. Наиболее близкими геохимическими аналогами данных образований являются долериты из дайковых роев, развитых в бортах Красноморской рифтовой системы. Возраст габбро-диабазов ангаульского комплекса принимается как нижнерифейский на основе их датирования Rb-Sr-методом по валу породы [6].

Образования чернозиминского комплекса, прорывающего отложения Урикского-Ийского грабена, в том числе и образования ермасохинской свиты, представлены в основном гранитами и гранодиоритами, образующими небольшие массивы, а также дайками тоналит-порфиров, гранодиорит-порфиров, сиенит-порфиров и кварцевых порфиров. Для целей петрологического и геохронологического изучения была исследована серия даек гранодиорит-порфиров на левобере-



**Рис. 2.** Схема геологического строения центральной части Урикско-Ийского грабена (междуречье Игнаши–Игнок). 1 – четвертичные аллювиальные отложения; 2 – отложения ермасохинской свиты (нижний рифей); 3 – отложения урицкой и ингашинской свит нерасчлененные (нижний протерозой); 4 – отложения большереченской и далдарминской свит нерасчлененные (ранний протерозой); 5 – раннедокембрийские комплексы Шарыжалгайского краевого выступа фундамента Сибирского кратона; 6–10 – интрузивные комплексы: 6 – габбро-долериты нерсинского комплекса (верхний рифей), 7 – лампроиты (средний рифей), 8 – массивы (а) и крупные дайковые тела (б) гранитоидов чернозиминского комплекса (нижний рифей), 9 – габбро-диабазы ангаульского комплекса (нижний рифей); 10 – гранитоиды саянского комплекса (нижний протерозой); 11 – разломы; 12 – залегание слоистости; 13 – место отбора пробы для геохронологического датирования.

жье р. Оки (рис. 2). Простижение даек северо-западное ( $320^{\circ}$ – $330^{\circ}$ ), совпадающее с общим направлением грабена. Мощность дайковых тел достигает 50 м. Изученные дайки сложены массивными гранодиорит-порфирями. Фенокристаллы представлены биотитом, кварцем и серicitизированным плагиоклазом. Биотит повсеместно содержит включения рудного минерала и кварца, степень хлоритизации фенокристаллов биотита в большинстве изученных образцов – 3–5%. Порода претерпела низкотемпературные изменения, что выражается присутствием в матриксе породы мелкочешуйчатого мусковита, хлорита, а в отдельных изученных разностях и новообразованного биотита, также отмечается интенсивная карбонатизация гранодиорит-порфиров.

Согласно классификации [8], исследованные гранитоиды следует относить к гранодиоритам, а по положению их фигуративных точек на классификационной диаграмме Ф. Баркера [9] к породам тоналит-трондьемитового ряда. Содержание щелочей в проанализированных гранитоидах достигает 7.3%, отношение  $\text{Na}_2\text{O}/\text{K}_2\text{O} > 1.5$ . Принимая во внимание вторичные изменения пород и, соответственно, возможное несоответствие содержаний ряда элементов и оксидов, таких, как  $\text{K}_2\text{O}$ ,  $\text{Al}_2\text{O}_3$ ,  $\text{Rb}$  и др., составу первичного расплава, петрогохимическую характеристику гранодиорит-порфиров проводили главным образом на основе малоподвижных в процессах вторичного преобразования пород элементов. Отмечено, что составы гранитоидов всех изученных даек практи-

тически идентичны. По таким индикаторным характеристикам, как высокие содержания Sr (410–500 г/т), низкие концентрации Y (8–9 г/т), сильно фракционированное распределение редкоземельных элементов ( $(\text{La/Yb})_n = 29\text{--}39$ ) при низком содержании тяжелых редких земель ( $\text{Yb} 0.64\text{--}0.7 \text{ г/т}$ ) и слабо выраженной отрицательной Eu-аномалии ( $(\text{Eu/Eu}^*)_n = 0.7\text{--}0.82$ ), проанализированные породы соответствуют образованиям тоналит-трондемит-гранодиоритовой серии (ТТГ). Сравнение нормализованных по [10] спектров геохимических составов исследованных гранитоидов и архейских ТТГ [11] показало их значительную схожесть (рис. 3). Некоторые отличия отмечены лишь в содержаниях Th, U,  $\text{K}_2\text{O}$ , Rb. Согласно классификации [12], гранодиорит-порфиры следует относить к гранитам I-типа, однако обнаруживаются существенные отличия в составах и мультиэлементных спектрах типичных I-гранитов и исследованных гранодиорит-порфиров (рис. 3). Формирование расплавов, подобных по составу изученным гранодиорит-порфирам, могло происходить при плавлении источника тоналит-трондемитового состава в равновесии с гранатсодержащим реститом. Возможно, рестит имел гранат-плагиоклаз-пироксен-амфиболовый состав. Протолитом для выплавления гранодиорит-порфиров могли служить породы тоналит-трондемитового состава, распространенные в комплексе основания Урикско-Ийской складчатой зоны.

Для определения абсолютного возраста отобран биотит из гранодиорит-порфира (проба 1538), имеющий следующий состав, мас. %:  $\text{SiO}_2$  66.21,  $\text{TiO}_2$  0.59,  $\text{Al}_2\text{O}_3$  15.77,  $\text{Fe}_2\text{O}_3^*$  4.05,  $\text{MnO}$  0.05,  $\text{MgO}$  1.40,  $\text{CaO}$  2.03,  $\text{Na}_2\text{O}$  4.38,  $\text{K}_2\text{O}$  2.98,  $\text{P}_2\text{O}_5$  0.13, п.п.п. 2.80, сумма 100.39. Изученный биотит крупночешуйчатый, практически неизмененный, степень хлоритизации не более 3%. По составу биотит соответствует среднему члену ряда флогопит-аннит ( $f = 0.5$ ,  $\text{Al}^{IV} = 1.2$  ф.е.). Ar-Ar-датирование по биотиту гранодиорит-порфира, выполненное в ОИГМ СО РАН, показало, что возраст данных пород соответствует  $1537 \pm 14$  млн. лет (рис. 4, табл. 1).

Полученные новые геохронологические и геологические данные позволяют предложить следующую модель развития Урикско-Ийской структуры.

В раннем протерозое в краевой части Сибирского кратона произошло заложение проторифтовой структуры, из которой впоследствии сформировалась Урикско-Ийская подвижная зона. В пределах раскрывающейся палеобассейна происходило накопление осадочно-вулканогенных толщ, формировавшихся в различных геодинамических обстановках – островодужной и пассивной континентальной окраины.

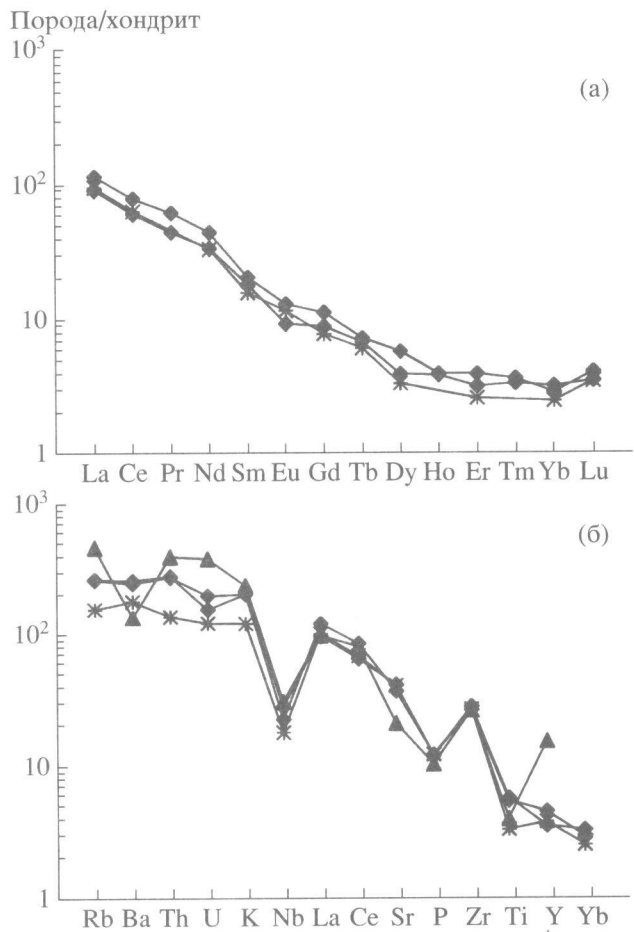


Рис. 3. Нормализованные по [10] спектры распределения редкоземельных элементов (а) и спайдер-диаграммы (б) для гранодиорит-порфиров чернозиминского комплекса Урикско-Ийского грабена (ромбы). Для сравнения показаны спектры архейских ТТГ по [11] (звездочки) и гранита I-типа по [12] (треугольники).

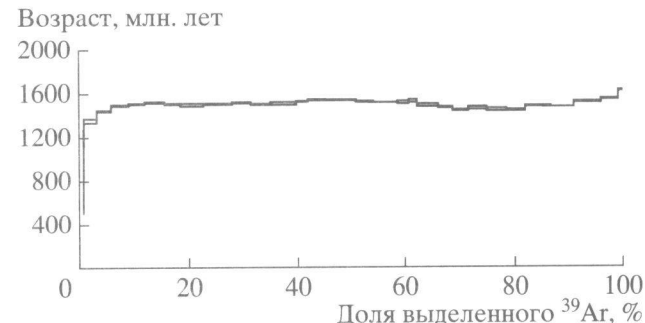


Рис. 4. Аргон-аргоновый возрастной спектр для гранодиорит-порфира чернозиминского комплекса (Урикско-Ийский грабен).

На рубеже около 1900 млн. лет на стадии глобальной аккреции, проявленной вдоль всего южного фланга Сибирского кратона, в результате коллизии Шарыжалгайского блока и Бирюсин-

**Таблица 1.** Результаты изотопно-геохронологического исследования гранит-порфиров чернозиминского комплекса (Урикско-Ийский грабен)

№ ступени	Возраст, млн. лет	$^{40}\text{Ar}/^{39}\text{Ar}$	$^{38}\text{Ar}/^{39}\text{Ar}$	$^{36}\text{Ar}/^{39}\text{Ar}$	Выделенный $^{39}\text{Ar}$ , %
1	$609.0 \pm 85.2$	$1121.0 \pm 11.6$	$3.21 \pm 0.0310$	$3.55 \pm 0.0400$	0.4
2	$1363.8 \pm 13.7$	$337.0 \pm 2.7$	$0.660 \pm 0.0043$	$0.451 \pm 0.0052$	2.8
3	$1458.8 \pm 5.3$	$306.6 \pm 1.1$	$0.275 \pm 0.0017$	$0.278 \pm 0.0019$	5.4
4	$1504.7 \pm 6.6$	$271.5 \pm 1.2$	$0.156 \pm 0.0017$	$0.124 \pm 0.0032$	8.6
5	$1515.6 \pm 5.8$	$272.6 \pm 1.3$	$0.156 \pm 0.0017$	$0.119 \pm 0.0011$	11.5
6	$1526.1 \pm 4.7$	$288.0 \pm 1.0$	$0.118 \pm 0.0009$	$0.163 \pm 0.0014$	15.1
7	$1518.4 \pm 7.6$	$256.5 \pm 1.7$	$0.109 \pm 0.0024$	$0.062 \pm 0.0013$	17.9
8	$1516.7 \pm 11.5$	$253.9 \pm 2.7$	$0.105 \pm 0.0018$	$0.055 \pm 0.0009$	22.3
9	$1517.9 \pm 7.0$	$250.8 \pm 1.6$	$0.110 \pm 0.0011$	$0.043 \pm 0.0008$	27.5
10	$1526.3 \pm 8.6$	$254.3 \pm 1.7$	$0.113 \pm 0.0011$	$0.049 \pm 0.0038$	30.9
11	$1523.4 \pm 6.3$	$253.2 \pm 1.4$	$0.108 \pm 0.0009$	$0.047 \pm 0.0006$	34.7
12	$1532.3 \pm 13.8$	$252.9 \pm 3.3$	$0.109 \pm 0.0016$	$0.039 \pm 0.0009$	39.4
13	$1548.9 \pm 6.8$	$278.4 \pm 1.6$	$0.104 \pm 0.0021$	$0.112 \pm 0.0011$	41.5
14	$1554.8 \pm 5.2$	$276.7 \pm 1.2$	$0.103 \pm 0.0010$	$0.102 \pm 0.0011$	45.0
15	$1555.4 \pm 8.1$	$277.5 \pm 1.9$	$0.103 \pm 0.0019$	$0.104 \pm 0.0017$	47.5
16	$1556.4 \pm 6.1$	$277.0 \pm 1.4$	$0.100 \pm 0.0010$	$0.101 \pm 0.0017$	50.4
17	$1542.4 \pm 6.6$	$269.3 \pm 1.5$	$0.105 \pm 0.0014$	$0.087 \pm 0.0012$	53.5
18	$1539.7 \pm 4.9$	$268.0 \pm 1.1$	$0.103 \pm 0.0007$	$0.084 \pm 0.0006$	58.2
19	$1543.5 \pm 12.3$	$281.6 \pm 2.9$	$0.124 \pm 0.0020$	$0.127 \pm 0.0035$	60.2
20	$1548.9 \pm 10.3$	$275.2 \pm 1.9$	$0.136 \pm 0.0038$	$0.101 \pm 0.0055$	61.7
21	$1518.1 \pm 15.8$	$252.3 \pm 3.8$	$0.132 \pm 0.0023$	$0.048 \pm 0.0012$	65.6
22	$1493.9 \pm 7.7$	$240.2 \pm 1.7$	$0.121 \pm 0.0009$	$0.026 \pm 0.0015$	68.3
23	$1467.4 \pm 5.2$	$235.6 \pm 1.1$	$0.122 \pm 0.0012$	$0.031 \pm 0.0012$	71.1
24	$1487.9 \pm 14.6$	$237.9 \pm 3.4$	$0.121 \pm 0.0019$	$0.023 \pm 0.0010$	74.6
25	$1472.3 \pm 14.1$	$235.8 \pm 3.0$	$0.130 \pm 0.0020$	$0.028 \pm 0.0043$	78.3
26	$1469.6 \pm 6.0$	$234.3 \pm 1.3$	$0.116 \pm 0.0008$	$0.025 \pm 0.0011$	81.8
27	$1507.2 \pm 5.7$	$242.8 \pm 1.2$	$0.100 \pm 0.0009$	$0.025 \pm 0.0014$	86.5
28	$1501.3 \pm 3.3$	$244.6 \pm 0.5$	$0.104 \pm 0.0006$	$0.035 \pm 0.0014$	90.7
29	$1547.7 \pm 5.4$	$251.6 \pm 1.2$	$0.090 \pm 0.0009$	$0.023 \pm 0.0008$	95.6
30	$1571.6 \pm 5.9$	$258.5 \pm 1.3$	$0.095 \pm 0.0012$	$0.027 \pm 0.0015$	98.8
31	$1648.3 \pm 7.2$	$519.3 \pm 2.1$	$0.251 \pm 0.0021$	$0.846 \pm 0.0044$	100.0

$J = 0.002646214$ .

ской глыбы началось закрытие палеопротерозойского бассейна. С этим событием связано формирование складчатой структуры Урикско-Ийской зоны, сопровождавшееся региональным метаморфизмом. Завершение коллизионного этапа и закрытие раннепротерозойского палеобассейна фиксируется возникновениемprotoорогенных впадин, выполненных вулканогенно-осадочными образованиями ангаульской и одайской свит, а также внедрением в метаморфические комплексы Шарыжалгайского блока, Бирюсинской глыбы и Урикско-Ийской зо-

ны постколлизионных гранитоидов саянского комплекса с возрастом 1.85 млрд. лет [3].

На последующей стадии развития, в условиях постколлизионного коллапса раннепротерозойского орогена [13], сочетавшегося со сдвиговыми деформациями, в центральных частях развивающейся депрессии, вероятно, происходило возникновение серии мелких грабенов типа пулл-апарт, в пределах которых происходило накопление молассоидных толщ ермасохинской свиты. Продолжение развития структуры Урикско-Ийской складчатой зоны привело к внедрению в отложе-

ния ермасохинской свиты таких интрузивных образований, как гранитоиды чернозиминского комплекса ( $1537 \pm 14$  млн. лет). Внедрение данных гранитоидов связано, по-видимому, с продолжающимися процессами сдвигового течения, аналогично фиксирующимся в фанерозойских сдвиговых областях [14]. Следовательно, возраст образований ермасохинской свиты может быть ограничен временными рамками 1.85–1.53 млрд. лет и, наиболее вероятно, соответствует началу рифея.

Формированию родоначальных для гранитоидов чернозиминского комплекса ТТГ-расплавов, вероятно, способствовало внедрение в нижние горизонты коры значительных объемов высокотемпературных базальтовых магм, явившихся дополнительным источником тепла. При этом свидетельством проявления базитового магматизма на начальной стадии коллапса являются отдельные массивы и дайки габбро-диабазов ангаульского комплекса, в то время как гранитоиды чернозиминского комплекса представляют собой продукт “продвинутого” плавления вещества континентальной коры.

Вероятно, релаксация растягивающих напряжений достаточно скоро привела к приостановке развития новой, заложившейся в нижнем протерозое осевой впадины, эволюция которой прекратилась на самом раннем этапе, не достигнув даже стадии “абортированного” рифта. Таким образом, после рубежа 1.5 млрд. лет Урикско-Ийский грабен превратился во внутрикратонную область стабильного развития. Все более молодые магматические и субвуликанические комплексы, развитые в его пределах, такие как лампроиты, щелочные пикриты, карбонатиты и др. [15], имеют характеристики типичных внутриплитных образований.

Принципиальная важность системы разломов, заложившейся в среднем протерозое на стадии постколлизионного коллапса орогена, состоит в том, что на последующих стадиях развития структуры эти разломы в значительной степени контролировали процессы магматизма в данном регионе. Доказательством этого предположения является то, что именно к этой системе разломов тяготеет большая часть неопротерозойских даек нерсинского комплекса, а к бортам этой древней диссипативной системы приурочены выходы глубинных

ультраосновных щелочных пород и карбонатитов.

Авторы выражают признательность и благодарность А.П. Секерину и Ю.В. Меньшагину за помощь в осуществлении исследований и конструктивные замечания, касающиеся вопросов геологии региона, а также О.М. Туркиной за ценные советы по петрологии тоналит-трондьемитов.

Исследования выполнены при поддержке РФФИ (гранты 01-05-64000; 00-15-98576; 00-05-64585) и Фонда содействия отечественной науке.

## СПИСОК ЛИТЕРАТУРЫ

- Rosen O.M., Condie K.C., Natapov L.M. et al. In: Archean Crustal Evolution / K.C. Condie Ed. Amsterdam: Elsevier, 1994. P. 411–459.
- Донская Т.В., Сальникова Е.Б., Скларов Е.В. и др. // ДАН. 2002. Т. 382. № 5. С. 663–667.
- Кирнозова Т.И., Левицкий В.И., Мельников А.И. и др. В кн. Изотопное датирование геологических процессов: новые методы и результаты. М.: ГЕОС, 2000. С. 178–180.
- Ножкин А.Д. // Геология и геофизика. 1999. Т. 40. № 11. С. 1524–1544.
- Эволюция земной коры в докембрии и палеозое / Под ред. Ф.А. Летникова. Новосибирск: Наука, 1988. 161 с.
- Домышев В.Г., Лепин В.С. В кн. Геология, тектоника и рудоносность докембра Сибирской платформы и ее обрамления. Иркутск: ВСФ СО АН, 1987. С. 227–228.
- Гладкочуб Д.П., Скларов Е.В., Мазуказов А.М. и др. // ДАН. 2000. Т. 375. № 4. С. 504–508.
- Streckeisen A. // Earth Sci. Rev. 1976. V. 12. P. 1–33.
- Barker F. In: Trondhjemites, Dacites and Related Rocks. Amsterdam: Elsevier, 1979. P. 1–12.
- Sun S., McDonough W.F. // Geol.Soc. London. Spec. Publ. 1989. V. 42. P. 313–345.
- Archean Crustal Evolution / K.C. Condie Ed. Amsterdam: Elsevier, 1994. P. 205–259.
- Chappell B.W., White A.J.R. // Pacif. Geol. 1974. V. 8. P. 173–174.
- Dewey J.F. // Tectonics. 1988. V. 7. P. 1123–1139.
- Добрецов Н.Л., Кирдяшкин А.Г. Глубинная геодинамика. Новосибирск: НИЦ ОИГГМ СО РАН, 1994, 299 с.
- Секерин А.П., Меньшагин Ю.В., Лашенов Ю.И. // ДАН. 1995. Т. 342. № 1. С. 82–86.